

Figure 1:

Si consideri il sistema meccanico rappresentato in figura dove  $m = 1 \text{ kg}$  è la massa sospesa,  $l = 1 \text{ m}$  la lunghezza dell'asta rigida che sostiene la massa e dell'albero,  $I = 10^{-3} \text{ Kg/m}^2$  è l'inerzia dell'albero e  $g = 9.8 \text{ m/s}^2$  l'accelerazione di gravità. Siano  $\alpha$  l'angolo formato dall'asta che sorregge la massa sospesa e l'albero e  $\omega$  la velocità angolare della struttura.

Il sistema è attuato attraverso una coppia  $\tau$  applicata alla base della struttura.

Le equazioni dinamiche del sistema risultano:

$$\begin{cases} ml^2\ddot{\alpha} - \frac{1}{2}ml^2 \sin(2\alpha)\omega^2 + mgl \sin \alpha = 0 \\ (I + ml^2 \sin(\alpha)^2)\dot{\omega} + ml^2 \sin(2\alpha)\dot{\alpha}\omega = \tau \end{cases} \quad (1)$$

- A** Si determinino tutti i punti di equilibrio corrispondenti a  $\dot{\alpha} = 0$ ,  $\omega(t) = \bar{\omega} = \sqrt{\frac{g\sqrt{2}}{l}}$ .
- B** Si determinino le matrici dinamiche del sistema linearizzato intorno ai punti di equilibrio ottenuti.
- C** Si considerino due sensori in grado di leggere  $\alpha \in [0, \pi]$  e  $\omega$  rispettivamente. Si studino le proprietà di controllabilità e osservabilità per tutti i sistemi ottenuti utilizzando alternativamente i due sensori e si fornisca una interpretazione fisica dei risultati ottenuti.
- D** Per il sistema ottenuto con il sensore relativo a  $\omega$  si determini se è possibile progettare dei regolatori che rendano i sistemi asintoticamente stabili. Si progetti, se possibile, un compensatore basato su regolatore in modo tale che il sistema retroazionato sia asintoticamente stabile.
- E** Si realizzi una simulazione numerica del comportamento del sistema ottenuto connettendo il compensatore ottenuto al passo precedente con il sistema non lineare e si commentino le simulazioni ottenute.

## Soluzione

**A** Il moto del sistema corrispondente a  $\dot{\alpha} = 0$  e  $\omega = \sqrt{\frac{g\sqrt{2}}{l}}$  è caratterizzato da  $\tau = 0$  (seconda equazione). Dalla prima equazione si ottiene  $\sin(\alpha) = 0$  e  $l \cos \alpha \omega^2 = g$  da cui  $\alpha = \pm k\pi$  e  $\alpha = \frac{\pi}{4}$  con  $k \in \mathbf{Z}$ . I punti di equilibrio sono

$$\begin{aligned} \alpha(t) &= \frac{\pi}{4} & \alpha(t) &= 0 & \alpha(t) &= \pi \\ \omega(t) &= \sqrt{\frac{g\sqrt{2}}{l}} & \omega(t) &= \sqrt{\frac{g\sqrt{2}}{l}} & \omega(t) &= \sqrt{\frac{g\sqrt{2}}{l}} \\ \dot{\alpha}(t) &= 0 & \dot{\alpha}(t) &= 0 & \dot{\alpha}(t) &= 0. \end{aligned} \quad (2)$$

**B** Si scelgano come variabili di stato le variabili  $x = (x_1, x_2, x_3) = (\alpha, \omega, \dot{\alpha})$ . Nelle nuove coordinate si ha

$$\begin{cases} \dot{x}_2 &= -\frac{ml^2 \sin(2x_1)x_2x_3}{I+ml^2 \sin(x_1)^2} + \frac{1}{I+ml^2 \sin(x_1)^2} \tau \\ \dot{x}_3 &= \frac{1}{2} \sin(2x_1)x_2^2 - \frac{g}{l} \sin x_1 \end{cases} \quad (3)$$

La matrice dinamica e il vettore degli ingressi del linearizzato risultano:

$$A = \begin{bmatrix} 0 & 0 & 1 \\ 0 & 0 & -\frac{ml^2 \sin(2\bar{\alpha})\omega}{I+ml^2 \sin(\bar{\alpha})^2} \\ \cos(2\bar{\alpha})\omega^2 - \frac{g}{l} \cos \bar{\alpha} & \sin(2\bar{\alpha})\omega & 0 \end{bmatrix}, \quad B = \begin{bmatrix} 0 \\ \frac{1}{I+ml^2 \sin(\bar{\alpha})^2} \\ 0 \end{bmatrix}$$

vanno ora calcolati nei punti di equilibrio  $(\bar{\alpha}, \bar{\omega}, 0)$ .

**Equilibrio in  $\bar{\alpha} = \frac{\pi}{4}$ :** Linearizzando intorno al punto di equilibrio relativo ad  $\bar{\alpha} = \frac{\pi}{4}$  si ottiene la matrice dinamica

$$A_{\frac{\pi}{4}} = \begin{bmatrix} 0 & 0 & 1 \\ 0 & 0 & -7.43 \\ -6.929 & 3.722 & 0 \end{bmatrix};$$

Si noti che la relazione tra le nuove variabili di stato  $z$ , associate alla matrice dinamica  $A_{\frac{\pi}{4}}$ , e le variabili  $x$  risulta

$$\begin{cases} z_1 &= x_1 - \bar{\alpha} \\ z_2 &= x_2 - \bar{\omega} \\ z_3 &= x_3 \end{cases} \quad (4)$$

Nelle nuove variabili di stato il vettore di ingresso  $B_{\frac{\pi}{4}}$  vale

$$B_{\frac{\pi}{4}} = \begin{bmatrix} 0 \\ 1.996 \\ 0 \end{bmatrix},$$

**Equilibrio in  $\bar{\alpha} = 0$ :** Linearizzando intorno al punto di equilibrio  $\bar{\alpha} = 0$  si ottiene la matrice dinamica

$$A_0 = \begin{bmatrix} 0 & 0 & 1 \\ 0 & 0 & 0 \\ 4.05 & 0 & 0 \end{bmatrix};$$

Il vettore di ingresso  $B_0$  vale

$$B_0 = \begin{bmatrix} 0 \\ 1000 \\ 0 \end{bmatrix},$$

**Equilibrio in  $\bar{\alpha} = \pi$ :** Linearizzando intorno al punto di equilibrio  $\bar{\alpha} = \pi$  si ottiene la matrice dinamica

$$A_{\pi} = \begin{bmatrix} 0 & 0 & 1 \\ 0 & 0 & 0 \\ 23.65 & 0 & 0 \end{bmatrix};$$

Il vettore di ingresso  $B_{\pi}$  vale

$$B_{\pi} = \begin{bmatrix} 0 \\ 1000 \\ 0 \end{bmatrix},$$

## C Ingresso $\tau$

**Equilibrio in  $\bar{\alpha} = \frac{\pi}{4}$ :** La matrice di raggiungibilità risulta

$$R = \begin{bmatrix} 0 & 0 & 7.43 \\ 1.996 & 0 & -55.216 \\ 0 & 7.43 & 0 \end{bmatrix}$$

$R$  ha rango 3 e pertanto il sistema risulta completamente raggiungibile.

**Equilibri in  $\bar{\alpha} = k\pi$**  In questi casi la matrice dinamica ha la seconda colonna nulla che corrisponde al secondo elemento di  $B$ , unico elemento non nullo del vettore degli ingressi. Si nota quindi facilmente che in questi casi la matrice di raggiungibilità ha rango 1.

**Uscita  $\omega$**  Il sensore che legge il valore  $\omega$  può essere utilizzato per calcolare la variabile di uscita del sistema  $z_2 = \omega - \bar{\omega}$ . Quindi, nelle variabili  $z$ , il vettore di uscita  $C_\omega$  risulta

$$C_\omega = [ 0 \quad 1 \quad 0 ];$$

la matrice di osservabilità

$$O_\omega = \begin{bmatrix} 0 & 1 & 0 \\ 0 & 0 & -\frac{ml^2 \sin(2\bar{\alpha})\bar{\omega}}{I+ml^2 \sin(\bar{\alpha})^2} \\ \frac{ml \sin(2\bar{\alpha})\bar{\omega}(-\cos(2\bar{\alpha})\bar{\omega}^2 l + g \cos(\bar{\alpha}))}{(I+ml^2 \sin(\bar{\alpha})^2)} & -\frac{ml^2 \sin(2\bar{\alpha})^2 \bar{\omega}^2}{I+ml^2 \sin(\bar{\alpha})^2} & 0 \end{bmatrix}$$

**Equilibri in  $\bar{\alpha} = k\pi$**  È facile notare che in questi casi  $\sin(2\bar{\alpha}) = 0$  e quindi la matrice di osservabilità ha rango 1.

**Equilibrio in  $\bar{\alpha} = \frac{\pi}{4}$**  in questo caso la matrice di osservabilità ha rango 3. Fisicamente il fatto è spiegabile notando che dalla velocità angolare è possibile ricostruire l'angolo  $\alpha$  e di conseguenza la sua derivata.

**Uscita  $\alpha$**  Il sensore che legge il valore  $\alpha$  può essere utilizzato per calcolare la variabile di uscita del sistema  $z_1 = \alpha - \bar{\alpha}$ . Quindi, nelle variabili  $z$ , il vettore di uscita  $C_\alpha$  risulta

$$C_\alpha = [ 1 \quad 0 \quad 0 ];$$

la matrice di osservabilità

$$O_\alpha = \begin{bmatrix} 1 & 0 & 0 \\ 0 & 0 & 1 \\ \cos(2\bar{\alpha})\omega^2 - \frac{g}{l} \cos \bar{\alpha} & \sin(2\bar{\alpha})\bar{\omega} & 0 \end{bmatrix}$$

**Equilibri in  $\bar{\alpha} = k\pi$**  È facile notare che in questi casi  $\sin(2\bar{\alpha}) = 0$  e quindi la matrice di osservabilità ha rango 2.

**Equilibrio in  $\bar{\alpha} = \frac{\pi}{4}$**  in questo caso la matrice di osservabilità ha rango 3. Fisicamente il fatto è spiegabile notando che dalla conoscenza di  $\alpha$  è possibile ricostruire la velocità angolare del sistema.

**D** È possibile progettare un compensatore basato sul regolatore che renda il sistema asintoticamente stabile nel caso dell'equilibrio  $\alpha = \frac{\pi}{4}$  in quanto solo in questo caso il sistema risulta completamente raggiungibile e osservabile.

Si consideri ora il sistema con ingresso  $\tau$  e uscita  $\omega - \bar{\omega}$ , sia  $sys = ss(A, B, C_\theta, 0)$ , il progetto del compensatore basato sul regolatore si ottiene con i seguenti comandi matlab:

- Retroazione: la matrice di retroazione  $K$  tale che gli autovalori di  $A - BK$  siano in  $p = -2, -4 + i, -4 - i$  è ottenibile dal comando matlab

```
>>p = [ -2 -4+i -4-i];
```

```
>>K=acker(A,B,p)
```

```
K =
```

```
 -4.7501    5.0100   -0.2144
```

- Stimatore: la matrice  $L$  di iniezione delle uscite sugli stati tale che gli autovalori di  $A - LC$  siano in  $-4, -6 + i, -6 - i$  è ottenibile dal comando matlab

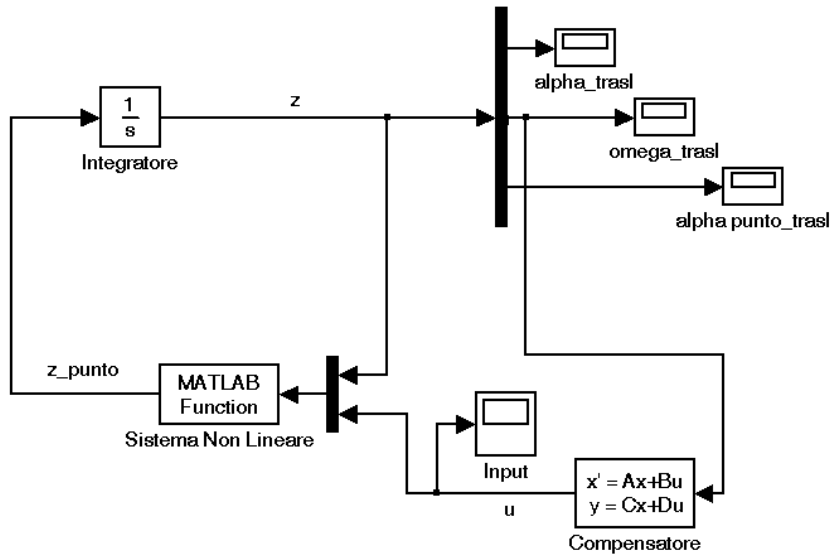


Figure 2: Schema Simulink del sistema non lineare controllato con il regolatore che ha come ingresso  $\tau$  e come uscita  $\theta$ .

```
>>q = [-4.0000 -6.0000 + 1.0000i -6.0000 - 1.0000i]
>>L=transpose(acker(A',C',q))
L =
    0.7210
   16.0000
   -6.7836
```

- Compensatore: il compensatore basato sul regolatore si ottiene con il comando matlab `rsys=reg(sys,K,L)`. La funzione di trasferimento  $R(s)$  del regolatore (ottenibile con il comando `tf(rsys)`) risulta

$$R(s) = \frac{-78.19s^2 - 273.1s - 363.8}{s^3 + 26s^2 + 87.34s + 115.5}$$

**E** Lo schema simulink per la simulazione del sistema non lineare controllato con il regolatore progettato sul sottosistema osservabile e raggiungibile del linearizzato è riportato in figura 4. Nel blocco *Sistema non lineare* si trova la dinamica non lineare traslata nell'equilibrio. Nel blocco *Compensatore* ci sono le matrici del compensatore basato sul regolatore.